

可控硅整流器的数学模型

由克伟

可控硅整流器兼有能量变换和能量控制的能力,在自动控制系统中多用作可控功率放大器,当作执行元件使用。在分析、设计和调试应用可控硅整流器的自动控制系统时,需要知道可控硅整流器的数学模型。

本文分析了可控硅整流器的工作过程,指出了整流过程的实质和特点。根据分析结果,求出了可控硅整流器的数学模型,讨论了简化模型及其应用条件。

一、可控整流过程的实质及特点

我们先讨论可控硅整流器进行相位控制时整流过程的实质和特点。图1是任意相的不控整流波形。这时,每隔一定间隔 τ 进行一次换相,换相间隔是相等的,其大小等于自然换相间隔,即:

$$\tau = \frac{1}{m \cdot f} = \frac{1}{m} \cdot T \quad (1)$$

其中 $T = \frac{1}{f}$, f —电源频率, m —由整流器接线方式决定的常数,如单相全波 $m=2$,三相半控桥式或三相零式 $m=3$,三相全控桥式或六相零式 $m=6$,等等。

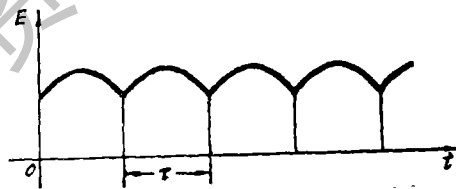


图1 任意相不控整流波形

当可控整流按相位进行控制时,整流器的输出波形如图2所示。由于进行相位控制换相间隔不再相等了,随相位控制角的不同而异,其大小由下式决定:

$$\tau_c = \left(\frac{1}{m} + \frac{\Delta\alpha_i}{2\pi} \right) \cdot T \quad (2)$$

其中 $\Delta\alpha_i = \alpha_{+i} - \alpha_i$ 是相邻两个相位控制角之差。

由 (2) 式可见, τ_i 是变化的, 其平均值为:

$$\tau = \left(\frac{1}{m} + \frac{1}{n} \sum_{i=1}^n \frac{\Delta\alpha_i}{2\pi} \right) \cdot T \quad (3)$$

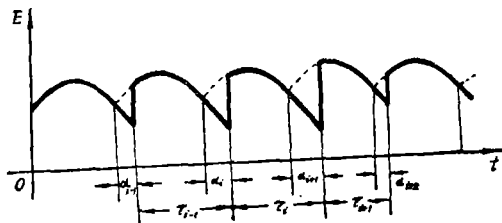


图 2 任意相可控整流波形

一般说, $|\Delta\alpha_i| \leq \frac{2\pi}{m}$ 故 τ 的变化范围将是 $0 \leq \tau \leq \frac{2}{m}T$ 。事实上, 由于控制系统

动态响应的变率一般不大, $\Delta\alpha_i$ 也不大, τ 多在 $\frac{T}{m}$ 左右变化, 动态分析时, 可取 $\tau = (0.5 \sim 1.5)T/m$ 。

从图 2 可以看出, 进行相位控制时, 整流过程的实质就是以 τ_i 为周期对不控整流波形进行准脉冲宽度调制。

另外, 由于可控硅的失控特性, 可控硅一旦导通, 再加触发脉冲对可控硅已不再起作用。因此, 从控制特性看, 可控硅整流器对其相位控制触发角来说, 等效于一个采样器, 对连续变化的相位控制角进行采样, 采样周期等于换相间隔。由 (2) 式看出, 采样周期是由 $\Delta\alpha_i$ 决定的一个随机变量。因此, 对连续变化的相位控制角来说, 可控整流过程又是一个随机采样过程。

通过以上讨论看出, 可控整流过程的实质和特点, 就是对不控整流波形进行准脉冲宽度调制, 以及对连续变化的相位控制角进行采样。明确了这些特点以后, 就不难求出可控硅整流器的数学模型。

二、可控硅整流器的数学模型

对于可控硅整流器来说, 求其数学模型, 就是找出可控整流输出电势 E 和相位控制角 α 之间的函数关系 $E = f(\alpha)$ 。

由于在一个采样周期内 $\Delta\alpha$ 变化不大, 可以把随机采样看成常规采样, 即以平均换相间隔 τ 做为采样周期。这样, 对连续变化的相位控制角 $\alpha(t)$ 的采样时刻将发生在 $t_i = i\tau$, 如图 3 所示。这时采样所得脉冲的高度为 $\alpha(t_i)$, 宽度为可控硅的开通时间 t_{on} 。由于 t_{on} 远小于采样周期和可控硅整流器负载回路 (或系统) 的时间常数, 相比

之下，可以认为 t_{1n} 为零。这样就可以用 δ - 函数来描写整流过程的采样特性。 δ - 函数为：

$$\delta(t) = \begin{cases} \infty & t=0 \\ 0 & t \neq 0 \end{cases}, \quad \int_{-\infty}^{+\infty} \delta(t) dt = 1$$

于是在采样时刻 $t_i = i\tau$ 时产生的理想脉冲列就是：

$$\delta_r(t) = \sum_{i=-\infty}^{+\infty} \delta(t - i\tau) \quad (4)$$

被理想脉冲列调制后的连续相位控制角 $\alpha(t)$ 变成了离散值 $\alpha^*(t)$ ，即

$$\alpha^*(t) = \alpha(t) \cdot \delta_r(t)$$

将 (4) 式代入上式并计及物理可实现性，上式变为：

$$\alpha^*(t) = \sum_{i=0}^{+\infty} \alpha(i\tau) \cdot \delta(t - i\tau) \quad (5)$$

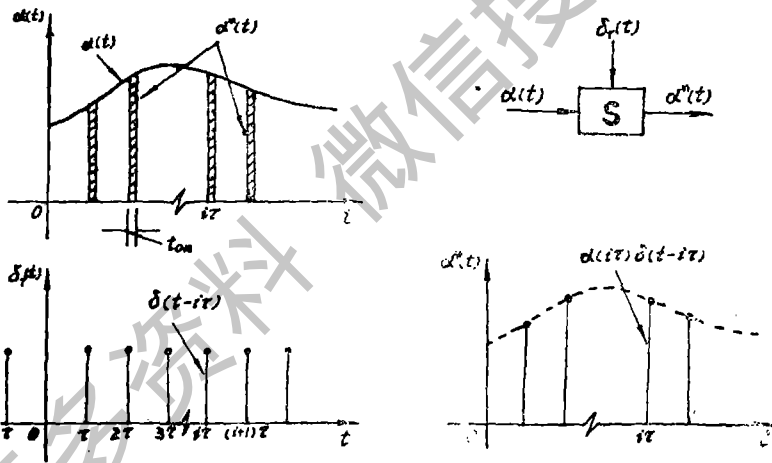


图 3 等效采样过程

对 (5) 式进行拉氏变换⁽¹⁾，得：

$$A^*(S) = \sum_{i=0}^{+\infty} \alpha(i\tau) \exp(-i\tau S) \quad (6)$$

引入新变量 $Z = e \times p(\tau s)$ ，又可求出 $\alpha^*(t)$ 的 Z 变换⁽²⁾，即：

$$A(Z) = \sum_{i=0}^{+\infty} \alpha(i\tau) Z^{-i} \quad (7)$$

(5)、(6)、(7) 分别说明在时域 t 、复域 S 和复域 Z 内的采样相位控制特性，三个公式是等效的。

可控硅触发以后，相位控制角 $\alpha(t)$ 再变化对可控硅已不起作用，输出电势不再变化，只有等过了自然换相点，下一个触发脉冲出现时，才能反映出相位控制角 $\alpha(t)$ 的变化。在采样间隔 τ 内，输出电势保持常量，完全等效于零阶保持器。零阶保持器的传递函数是⁽³⁾：

$$W_h(S) = \frac{1 - e^{-s\tau}}{s} \quad (8)$$

为了求出数学模型，还必须找到采样相位控制角 $\alpha^*(t)$ 所对应的输出电势 $e(t)$ 。我们知道，整流器的接线方式确定以后，就可以很容易地求出这种关系。由图 2 看出， $\alpha^*(t)$ 对应的输出电势 $e(t)$ 是由 τ_i 所调制的切断正弦波。用怎样的数学方程描述这种波形，才符合于系统的实际工作情况呢？由于对不控整流波形进行准脉冲宽度调制的同时，其幅值也有改变，从对系统的作用看，实际上是对宽度、幅度的同时调制，这给数学处理带来了一定的困难。离散系统经常遇到这类问题，已经进行了不少研究，比较有效的处理方法是等效面积原理⁽⁴⁾。这一原理指出，当两个势函数 $\gamma(t)$ 和 $\gamma'(t)$ 作用于线性系统时，在一个很小的采样区间 T 内，如果满足下述方程：

$$\int_{nT}^{(n+1)T} r(t) dt = \int_{nT}^{(n+1)T} r'(t) dt \quad (9)$$

则 $r(t)$ 与 $r'(t)$ 对系统的作用是动态等效的。

如果系统除了可控硅整流器以外是线性的，其权函数是 $g(t)$ ，那么，在每个采样间隔 τ_i 内，由 $\alpha(i\tau)$ 所确定的输出电势 $e(i\tau)$ 引起的系统动态响应 $X_i(t)$ 是 $e(i\tau)$ 和 $g(t)$ 的卷积，即：

$$X_i(t) = \int_{-\infty}^t e(i\tau) g(t - \sigma) d\sigma$$

由于 $e(i\tau) = e_i(t)$ 是在 $i\tau \leq t \leq (i+1)\tau$ 内， $\alpha(i\tau) = \alpha_i(t)$ 所对应的电势，可把积分区间 $-\infty \rightarrow t$ 用 $i\tau$ 和 $(i+1)\tau$ 之和代替，则系统总动态响应 $X(t)$ 将是：

$$X(t) = \sum_{i=-\infty}^n X_i(t) = \sum_{i=-\infty}^n \left[\int_{i\tau}^{(i+1)\tau} e(\sigma) g(t - \sigma) d\sigma \right] \quad (10)$$

假设系统响应不很快，其变率不大，在 τ 内 $g(t)$ 可以近似看做常量，于是上式近似为：

$$X(t) \cong \sum_{i=-\infty}^n g(t - i\tau) \int_{i\tau}^{(i+1)\tau} e(\sigma) d\sigma \quad (11)$$

上式说明，系统的响应完全由 $e(i\tau)$ 和时间的积分决定，而与函数 $e(i\tau)$ 的形状无关。设在区间 τ 内由 $\alpha(i\tau)$ 对应的电势 $e(i\tau)$ 的平均值为 E_{ip} ，根据等效面积原理，由

(9)、(11) 式得：

$$E_{i_p} = \frac{1}{\tau} \int_{i\tau}^{(i+1)\tau} e(i\tau) dt \quad (12)$$

这样，我们就从理论上证明了只要系统动态过程较缓慢，在整流器的一个换相期间 τ 内， $g(t)$ 变化不大，就可以用平均电势代替随时间任意变化的电势。(12) 式同时也说明，进行动态分析时，可以不考虑换相重叠角对波形的影响。因此，我们取输出电势而不取电压，将整流器看成一个产生平均电势的电源，以等值内阻 $\frac{m}{2\pi} X_s$ ($X_s = \omega L_s$ ，是整流变压器的漏抗) 计及换相重叠角对输出电压的影响。这样处理另一个好处，是使整流器的数学模型成为单向性环节了。可控硅整流器的输出电势平均值 E_{i_p} 为：

$$E_{i_p} = E_{d_0} f(\alpha_i) \quad (13)$$

其中 E_{d_0} ——相位控制角 $\alpha = 0$ 时的输出电势平均值。 $f(\alpha_i)$ ——由整流器接线方式决定的函数，如单相半波、三相桥式半控时 $f(\alpha) = \frac{1}{2}(1 + \cos\alpha)$ ；单相全波、三相零式三相桥式全控，六相零式时 $f(\alpha) = \cos\alpha$ ，等等。

应该注意， $\alpha_i = \alpha(i\tau)$ 是系统处在动态过程时的相位控制角，如果过渡过程中触发 n 次，则动态过程中输出电势的平均值应为：

$$E_{i_p} = \frac{1}{n} \sum_{i=1}^n E_{i_p} = \frac{E_{d_0}}{n} \sum_{i=1}^n f(\alpha_i) \quad (14)$$

事实上，由于系统权函数 $g(t)$ 的变率不大， α_i 总是在某一给定的 α 附近变化，可以认为：

$$f(\alpha) \cong \frac{1}{n} \sum_{i=1}^n f(\alpha_i)$$

将上式代入 (14) 式得：

$$E_{i_p} = E_{d_0} f(\alpha)$$

由 (8) 及 (14) 式和函数 $f(\alpha)$ ，最后得到可控硅整流器的传递函数是：

$$W_z(S) = K_z \frac{1 - e^{-p(-\tau s)}}{S} \quad (15)$$

其中 $K_z = E_{d_0} \frac{1}{n} \sum_{i=1}^n \sin\alpha_i \cong E_{d_0} \sin\alpha$ ，是可控硅整流器的传递系数。

方程 (15) 就是我们求出的可控硅整流器的数学模型。显然，这是一个离散模型，应用时，必须用 Z 变换法进行系统的分析计算，有时过于繁杂。

下面我们讨论可控硅整流器数学模型的简化问题。

三、简化数学模型及其应用条件

由(5)式可知, $\alpha^*(t)$ 是周期函数, 故可展开为复数形式的富氏级数, 于是(5)式又可以写成:

$$\alpha^*(t) = \frac{1}{T} \sum_{i=-\infty}^{+\infty} \alpha(t) \exp(ji\omega_r t) \quad (16)$$

其中 $\omega_r = 2\pi f_r = 2\pi/T$, 是可控硅整流器的等效平均采样频率。

对(16)式进行拉氏变换得:

$$A^*(s) = \frac{1}{T} \sum_{i=-\infty}^{+\infty} A(s + ji\omega_r) \quad (17)$$

由于 $A^*(s)$ 的极点满足 $\text{Re}(s) < 0$, 故可令 $S = j\omega$, 代入(17)式得:

$$A^*(j\omega) = \frac{1}{T} \sum_{i=-\infty}^{+\infty} A[j(\omega + i\omega_r)] \quad (18)$$

从(18)式看出, 相位控制角 $\alpha(t)$ 被采样后的频谱, 是由以采样频率 ω_r 为周期的无限多个离散频谱组成。而 $\alpha(t)$ 频谱 $A(j\omega)$ 为一孤立连续谱。其最高频率如为 ω_{max} 由采样定理知道⁽⁵⁾ 为了不使连续相位控制角 $\alpha(t)$ 的频谱发生畸变, 采样频率 ω_r 必须足够高, 才能使频谱不重叠, 即必须使 $\omega_r \geq 2\omega_{max}$ 。这样, 才能保证被采样的 $\alpha(t)$ 能够恢复。另一方面, 相位控制角 $\alpha(t)$ 的频谱带宽是由控制系统的开环截止频率 ω_c 所限定的⁽⁶⁾, 且 $\omega_c < \omega_{max}$ 。因此, $\alpha(t)$ 被采样后仍不失真的条件是:

$$\omega_c < \frac{1}{2} \omega_r \quad (19)$$

上述不等式只是指出了不失真的条件, 考虑到 ω_r 总是小于 ω_{max} , 而且 $\omega_c \cong 0.5 \omega_{max}$ 和 $\omega_{max} \leq 0.5 \omega_r$, 所以, 为使 $\alpha(t)$ 不失真, 即 $\alpha(t)$ 虽然被采样, 但仍能恢复到原来的 $\alpha(t)$ 的条件为:

$$\omega_c \leq \frac{1}{4} \omega_r$$

再考虑到一定裕量, 设计时可取:

$$\omega_c = (0.1 \sim 0.2) \omega_r \quad (20)$$

例如, 对于使用三相桥式全控流器的系统, 设计电流环的截止频率时, 可取 $\omega_c = 180 \sim 360$ 1/秒。实践证明, 一般系统的截止频率在这个范围以内。

在上述条件下, 虽然 $\alpha(t)$ 的波形可以恢复, 但由零阶保持器的特性知道⁽⁷⁾, 经过零阶保持器的信号将会产生一定时延, 延滞时间为采样周期的二分之一。因此, 在满足

(19) 式的前提下, 整流器的数学模型可以简化为比例加时滞环节, 即其传递函数为:

$$W_Z(s) = K_Z e^{-p(-T_Z S)} \quad (21)$$

其中 $T_Z = \tau/2$, 是可控硅整流器的等效时滞, 一般情况下可取 $T_Z = (\frac{1}{2} \sim \frac{1}{4})T/m$ 。由于 T_Z 和系统其他环节的时间常数相比, 一般说比较小, (21) 式可以简化为:

$$W_Z(s) = \frac{K_Z}{T_Z S + 1} \quad (22)$$

即将可控硅整流器等效于一个惯性环节。当按 (20) 式选取系统的截止频率 ω_c 时 ω_r 远离 ω_c , 等效惯性环节的特性处于对数幅频特性的高频区, 对系统的动态特性影响不大。因此, 可控硅整流器的数学模型还可以进一步简化为一比例环节。即其传递函数为:

$$W_Z(s) = K_Z \quad (23)$$

以上我们讨论了可控硅整流器的两类四种数学模型, 在进行系统设计时, 选取哪一种数学模型, 要根据实际情况和需要而定, 但是必须注意各种模型的应用条件。

四、结 论

根据考虑的条件不同, 可控硅整流器的数学模型可以分为离散模型和连续模型两类。

I、离散数学模型

对可控硅整流器进行相位控制时, 整流过程的实质可以看成是对不控整流波形进行准脉冲宽度调制。整流过程的基本特点是等效于采样过程和具有零阶保持器特性。因此, 根据离散系统理论, 可以求出其离散数学模型:

$$W_Z(s) = K_Z \frac{1 - e^{-p(-\tau s)}}{S}$$

I、连续数学模型:

根据采样定理, 设计系统时保证截止频率 $\omega_c < 0.5 \omega_r$, 就可以将离散模型简化为连续模型, 即比例加时滞环节:

$$W_Z(s) = K_Z e^{-p(-T_Z s)}$$

当 T_Z 远小于系统其他环节的时间常数时, 模型可以简化为惯性环节:

$$W_Z(s) = \frac{K_Z}{T_Z s + 1}$$

使 ω_r 远离 ω_c 时, 模型可以进一步简化为比例环节:

$$W_Z(s) = K_Z$$

使用各种模型时, 应注意其应用条件。

此外, 当可控硅整流器用于快速系统时, 应当考虑等效采样周期 τ (实际上就是整流器的接线方式和电源频率) 与系统的参数 (如时间常数) 匹配, 这是一个很有实际价值的问题, 因已属系统的设计范畴, 这里不再讨论。

参 考 文 献

1. М.Ф.Гарднер и ДЖ. Л. Барнс; Переходные процессы в линейных системах, МОСКВА, 1961.
2. 3. J.T.Tou: Digital and Sampled-data Control Systems, McGraw-Hill Book Company, Inc, N. Y., 1959.
4. R.E.Andeen; The Principle of Equivalent Areas, AIEE, Transaction Part. I, Application and Industry, 1960, No 51 PP.332-336.
5. B.M.Oliuer, J.R. Pierce, C.E.Shannon: The Philosophy of Pulse Code Modulation, Proc. IRE, 1948, 36, No11, PP. 1324-1331.
6. J.E.Truxal(Ed): Control Engineer' Handbook, McGraw-Hill Book Company, Inc., N.Y., 1958.
7. 同2

(本文1978年12月23日收到)